

02

## Люминесценция ионов эрбия в скандий-иттриевой оксидной керамике

© А.В. Спирина<sup>1</sup>, В.И. Соломонов<sup>1</sup>, А.С. Макарова<sup>1</sup>, В.В. Осипов<sup>1</sup>, В.А. Шитов<sup>1</sup>, Р.Н. Максимов<sup>1,2</sup><sup>1</sup> Институт электрофизики Уральского отделения РАН, Екатеринбург, Россия<sup>2</sup> Уральский федеральный университет им. первого Президента России Б.Н. Ельцина, Екатеринбург, Россия

e-mail: rasuleva@iep.uran.ru

Поступила в редакцию 08.04.2024 г.

В окончательной редакции 13.09.2024 г.

Принята к публикации 09.01.2025 г.

Исследована люминесценция прозрачных образцов смешанной керамики состава  $\text{Er}_y:(\text{Sc}_x\text{Y}_{1-x})_2\text{O}_3 + 2 \text{ mol.}\% \text{ ZrO}_2$  при разном содержании скандия. Возбуждение образцов излучением лазерного диода с длиной волны 808 nm приводит к ап-конверсии, в результате которой в видимой и ближней инфракрасных областях спектра появляются полосы фотолюминесценции на переходах  $^4S_{3/2} \rightarrow ^4I_{15/2}$  (530–575 nm) и  $^4I_{11/2} \rightarrow ^4I_{15/2}$  (950–1050 nm). При возбуждении электронным пучком длительностью 2 ns со средней энергией электронов 170 keV и плотностью тока 130 A/cm<sup>2</sup> вместе с желто-зеленой люминесценцией дополнительно проявляются полосы излучения ионов эрбия, соответствующие переходам  $^4F_{9/2} \rightarrow ^4I_{15/2}$  (640–720 nm) и  $^4S_{3/2} \rightarrow ^4I_{13/2}$  (840–900 nm). С ростом содержания скандия в образцах наблюдается красный сдвиг и уширение длинноволновых компонент всех полос люминесценции эрбия. С помощью кинетических измерений определены времена жизни наблюдаемых излучательных уровней.

**Ключевые слова:** импульсная катодолуминесценция, время жизни, ап-конверсия, эрбий.

DOI: 10.61011/OS.2025.01.59874.6219-24

### Введение

Твердотельные лазеры, генерирующие излучение в среднем инфракрасном (ИК) диапазоне (1.5–2.1 μm), представляют большой интерес для практических применений в линиях связи, в медицине, в лидарных устройствах и др. В качестве активных сред таких лазеров используются кристаллы, стекла и керамические материалы, в частности, легированные ионами эрбия ( $\text{Er}^{3+}$ ). К настоящему времени известно много оксидных и фторидных материалов, таких как  $\text{Y}_3\text{Al}_5\text{O}_{12}$ ,  $\text{YAlO}_3$ ,  $\text{YVO}_4$ ,  $\text{GdVO}_4$ ,  $\text{KGd}(\text{WO}_4)_2$ ,  $\text{LiYF}_4$ ,  $\text{CaF}_2$  и др., легированных  $\text{Er}^{3+}$ , на переходах  $^4I_{11/2} \rightarrow ^4I_{13/2}$  (2.5–3.1 μm) и  $^4I_{13/2} \rightarrow ^4I_{15/2}$  (1.5–1.6 μm) которого получена лазерная генерация [1–5].

Для создания твердотельных лазеров ближнего и среднего ИК диапазонов, а также устройств, использующих ап-конверсионное излучение, перспективными материалами являются оксиды  $\text{Y}_2\text{O}_3$ ,  $\text{Lu}_2\text{O}_3$  и  $\text{Sc}_2\text{O}_3$ , активированные редкоземельными элементами [6,7]. У этих веществ термомеханические свойства выше, чем у материалов структуры граната, что является важным преимуществом [8,9], но в тоже время есть сложность выращивания таких монокристаллов. Керамическая технология позволяет значительно снизить температуру синтеза (обычно до 1700–1800 °C), обеспечивает масштабируемость производства и упрощает изготовление высоколегированных материалов с заданным составом и равномерным распределением легирующих примесей, что необходимо для создания коммерчески доступных

лазеров. Поэтому в настоящее время активно исследуется лазерная керамика на основе оксидов  $\text{Y}_2\text{O}_3$ ,  $\text{Lu}_2\text{O}_3$  и  $\text{Sc}_2\text{O}_3$ , активированных редкоземельными ионами [8,9].

Особый интерес представляет прозрачная керамика, структура которой образована твердыми растворами на основе смешанных оксидов  $\text{Y}_2\text{O}_3$ – $\text{Lu}_2\text{O}_3$ – $\text{Sc}_2\text{O}_3$ . В этом ряду сила кристаллических полей в позициях редкоземельных ионов, замещающих катионы оксида, увеличивается, что приводит к зависимости их штарковского расщепления от состава смеси [10]. В последние годы получена прозрачная керамика типа  $(\text{Lu}_x\text{Sc}_{1-x})_2\text{O}_3$ ,  $(\text{Lu}_x\text{Y}_{1-x})_2\text{O}_3$ , легированная редкоземельными ионами  $\text{Yb}^{3+}$  [11–13],  $\text{Tm}^{3+}$  [14–16] и  $\text{Ho}^{3+}$  [17]. Показано, что в смешанной оксидной керамике редкоземельные ионы излучают широкие полосы, позволяющие получать короткие лазерные импульсы [18,19].

В работе [20] представлены технология и характеристики прозрачной керамики на основе смешанных в разной пропорции оксидов скандия и иттрия, активированных  $\text{Er}^{3+}$ . В ней также исследовалось поведение фотолюминесценции на лазерном переходе  $^4I_{11/2} \rightarrow ^4I_{13/2}$  (2.55–3.1 μm) иона эрбия. Показано, что в этой области спектр представлен широкой структурированной полосой с максимумом при 2.716 μm и менее интенсивной широкой длинноволновой полосой. С ростом содержания скандия наблюдается уширение (от 22 до 34 nm) компонент обеих полос, а также красное смещение максимума длинноволновой полосы излучения от 2.842 до 2.848 μm.

**Таблица 1.** Характеристики объектов исследования  $\text{Er}_y:(\text{Sc}_x\text{Y}_{1-x})_2\text{O}_3 + 2 \text{ mol.}\% \text{ ZrO}_2$

Образец	y	x	Постоянная решетки a, nm
1	0.075	0	1.05947
2	0.074	0.114	1.05067
3	0.073	0.227	1.04211
4	0.072	0.445	1.02521

Целью настоящей работы является дальнейшее изучение спектральных люминесцентных свойств этой керамики, но только в видимой и ближней ИК областях при возбуждении лазерным диодом с длиной волны 808 nm и импульсным электронным пучком.

## Объекты исследования

В настоящей работе исследовались образцы прозрачной керамики состава  $\text{Er}_y:(\text{Sc}_x\text{Y}_{1-x})_2\text{O}_3 + 2 \text{ mol.}\% \text{ ZrO}_2$  в виде дисков диаметром около 12 mm, толщиной 1.8 mm. Их характеристики приведены в табл. 1.

Спекание керамики проводилось при температуре 1750 °C в течение 5 h под вакуумом  $10^{-5}$  mbar в высокотемпературной печи с графитовыми нагревательными элементами. Полученные диски подвергались просветляющему отжигу на воздухе при температуре 1400 °C в течение 2 h, а затем полировались с обеих сторон до зеркального блеска. Небольшое количество (2 mol.%) диоксида циркония ( $\text{ZrO}_2$ ) использовалось в качестве спекающей добавки.

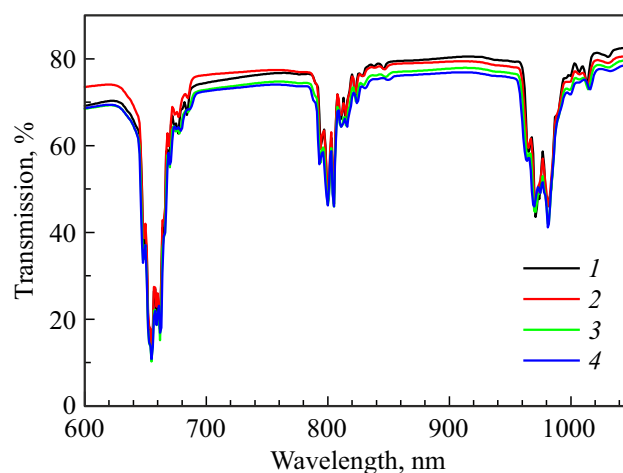
Кристаллическая фаза всех образцов керамики представлена однофазным твердым раствором со структурой кубического биксбиита (C-тип, sp. gr. *Ia-3*). Вторых фаз, в том числе связанных с присутствием  $\text{ZrO}_2$ , не обнаружено. С увеличением содержания скандия в образцах постоянная кристаллической решетки (табл. 1) уменьшалась в соответствии с законом Vegarda. Более подробная характеристика и технология изготовления образцов керамики представлена в [20].

## Аппаратура

Спектры пропускания регистрировались на спектрофотометре Shimadzu UV-1700 в диапазоне 200–1100 nm с шагом сканирования 1 nm.

Фотолюминесценция (ФЛ) возбуждалась лазерным диодом (808 nm) мощностью 4 W и плотностью излучения, не превышающей  $0.5 \text{ W/mm}^2$ , при комнатной температуре образцов и регистрировалась с помощью спектрометрического комплекса на базе монохроматора МДР-41, а также ФЭУ-100 и ФЭУ-62. Погрешность измерения длины волны не превышала 0.5 nm.

Импульсная катодолюминесценция (ИКЛ) возбуждалась с помощью ускорителя электронов, генерирующего



**Рис. 1.** Спектры пропускания образцов без добавления скандия и с разным его содержанием. В легенде указаны номера образцов согласно табл. 1.

пучком со средней энергией 170 keV, плотностью тока  $130 \text{ A/cm}^2$ , длительностью 2 ns при частоте следования 1 Hz. Образцы не диафрагмировались, облучались в воздухе при комнатной температуре. Интегральный спектр люминесценции регистрировался многоканальным фотоприемником на базе ПЗС-линейки в диапазоне 400–900 nm в одном кадре (экспозиция составляла 50 ms) и усреднялся по 60 импульсам, что обеспечивало стабильность амплитудных параметров спектра не хуже 90 %. Диаметр поперечного сечения электронного пучка не изменялся в процессе облучения. Абсолютная погрешность измерения длины волны составляла  $\pm 0.3$  nm. Корректировка спектральной чувствительности проводилась с помощью галогенного калибрационного источника света AvaLigth-HAL-CAL (350–1100 nm).

При измерении кинетических характеристик использовался этот же источник возбуждения, но в качестве приемной аппаратуры выступали монохроматор МДР-41, ФЭУ-100 и ФЭУ-62, сигналы с которых регистрировались осциллографом Keysight DSOX2014A.

## Результаты

На рис. 1 представлены спектры пропускания в области 600–1050 nm. Три структурированные полосы поглощения соответствуют электронным переходам с нижнего уровня  $^4I_{15/2}$  в верхние уровни  $^4F_{9/2}$ ,  $^4I_{9/2}$ ,  $^4I_{11/2}$  иона  $\text{Er}^{3+}$ . В каждой полосе большинство линий при увеличении содержания скандия не изменяют своего положения, за исключением малоинтенсивных линий, находящихся на длинноволновых крыльях каждой полосы. В табл. 2 указаны длины волн, изменяющие свое положение при увеличении содержания скандия.

При помещении образцов под излучение лазерного диода с длиной волны 808 nm визуально прозрачные образцы излучают желто-зеленое све-

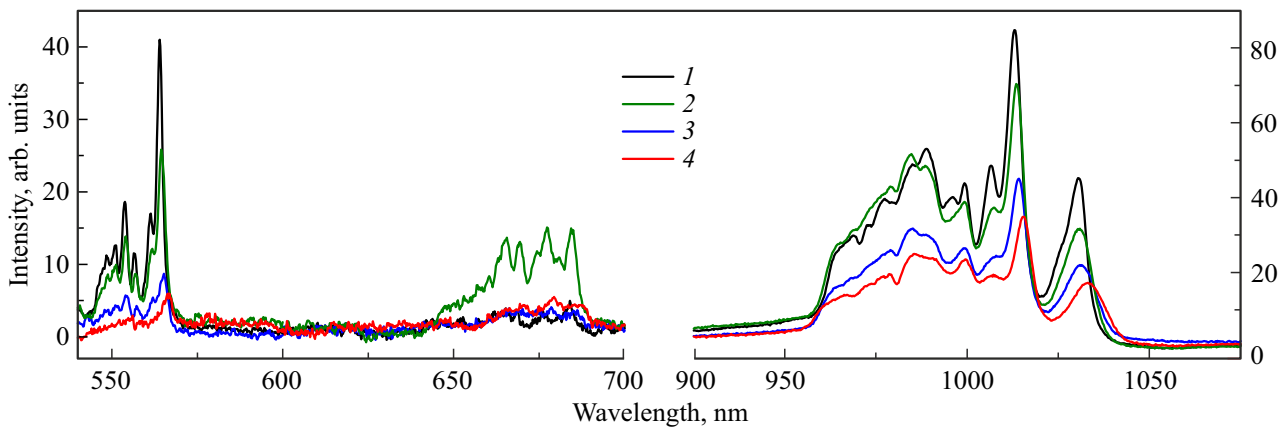


Рис. 2. Спектр фотолюминесценции образцов. В легенде указаны номера образцов согласно табл. 1.

Таблица 2. Положение длин волн в спектре пропускания образцов  $\text{Er}_x(\text{Sc}_x\text{Y}_{1-x})_2\text{O}_3 + 2 \text{ mol.}\% \text{ ZrO}_2$  в зависимости от содержания скандия

Образец	x	Длина волны, nm				
		${}^4I_{15/2} \rightarrow {}^4F_{9/2}$	${}^4I_{15/2} \rightarrow {}^4I_{9/2}$	${}^4I_{15/2} \rightarrow {}^4I_{11/2}$		
1	0	677	684	846	1013	1031
2	0.114	677	685	847	1014	1031
3	0.227	678	685	848	1014	1031
4	0.445	679	687	850	1016	1034

чение, насыщенность которого спадает при увеличении содержания скандия в образцах. В спектре ФЛ всех образцов регистрируются две структурированные полосы на переходах  ${}^4S_{3/2} \rightarrow {}^4I_{15/2}$  (530–575 nm) и  ${}^4I_{11/2} \rightarrow {}^4I_{15/2}$  (950–1050 nm), и только в образцах состава № 2, кроме этих полос, проявляется красная люминесценция (640–690 nm) на переходе  ${}^4F_{9/2} \rightarrow {}^4I_{15/2}$ , которая трудно различима у образцов других составов (рис. 2).

С увеличением содержания скандия для всех линий в полосе ближнего ИК диапазона при 950–1050 nm наблюдается сдвиг максимумов в длинноволновую область на величину от 1.2 до 2.8 nm (рис. 2). Этот сдвиг происходит за счет увеличения кристаллического поля в позициях иона  $\text{Er}^{3+}$ , что подтверждается уменьшением постоянной решетки с ростом содержания скандия в образцах (табл. 1), и к которому наиболее чувствительны нижние мультиплеты энергетических уровней иона. Верхние мультиплеты, как показывает спектр пропускания, практически не изменяются. В дифракционных картинах отсутствуют сверхструктурные линии, что указывает на разупорядоченность кристаллической структуры твердых растворов, которая приводит не только к сдвигу, но и к уширению полос люминесценции с ростом содержания скандия. Наиболее наглядно это проявляется в ИК спектре ФЛ (рис. 2) для длинноволновой линии:

в образцах без скандия ( $\lambda = 1030.5 \text{ nm}$ ) ширина линии равна 8 nm, а в образцах с наибольшим содержанием скандия ( $\lambda = 1033.3 \text{ nm}$ ) она увеличивается до 11 nm.

Учитывая полученные результаты, были построены схема возбуждения энергетических уровней лазерным диодом и соответствующее излучение (рис. 3). При фотовозбуждении уровня  ${}^4I_{9/2}$  часть энергии безызлучательно „стекает“ на уровень  ${}^4I_{11/2}$ , с которого в основное состояние происходит излучательный переход  ${}^4I_{11/2} \rightarrow {}^4I_{15/2}$  с проявлением люминесценции в области 950–1050 nm (рис. 2). С этого же уровня  ${}^4I_{11/2}$  тем же возбуждающим излучением происходит накачка более высоко расположенного уровня  ${}^4F_{7/2}$  (ап-конверсия), который безызлучательно разгружается на ниже расположенный уровень  ${}^4S_{3/2}$  с появлением желто-зеленой полосы люминесценции на переходе  ${}^4S_{3/2} \rightarrow {}^4I_{15/2}$ . И только у образца состава № 2 еще дополнительно проявляется красное излучение на переходе  ${}^4F_{9/2} \rightarrow {}^4I_{15/2}$ , верхний уровень которого возбуждается в результате безызлучательного переноса энергии с уровня  ${}^4S_{3/2}$  (рис. 3).

На рис. 4 представлены спектры ИКЛ в диапазоне 520–900 nm. Инфракрасная полоса (950–1050 nm) перехода  ${}^4I_{11/2} \rightarrow {}^4I_{15/2}$  не зарегистрирована в спектре ИКЛ из-за ограничения спектрального диапазона интегрирующего фотоприемника.

В спектре ИКЛ проявляются три структурированные полосы. При увеличении содержания скандия максимумы длинноволновых компонент каждой полосы ИКЛ, так же как и при фотовозбуждении, сдвигаются от 1.2 до 2.8 nm в длинноволновую область (табл. 3). Отличительной особенностью спектров при возбуждении электронным пучком (рис. 4) и ФЛ (рис. 2) является то, что в ИКЛ для всех образцов с разным содержанием скандия наблюдается красная полоса на переходе  ${}^4F_{9/2} \rightarrow {}^4I_{15/2}$  (640–720 nm) и дополнительная слабая полоса в ближней ИК области (840–900 nm) предположительно на переходе  ${}^4S_{3/2} \rightarrow {}^4I_{13/2}$  иона эрбия. Это отличие связано с большей эффективностью возбуждения уровней  ${}^4S_{3/2}$  и  ${}^4F_{9/2}$  электронным пучком

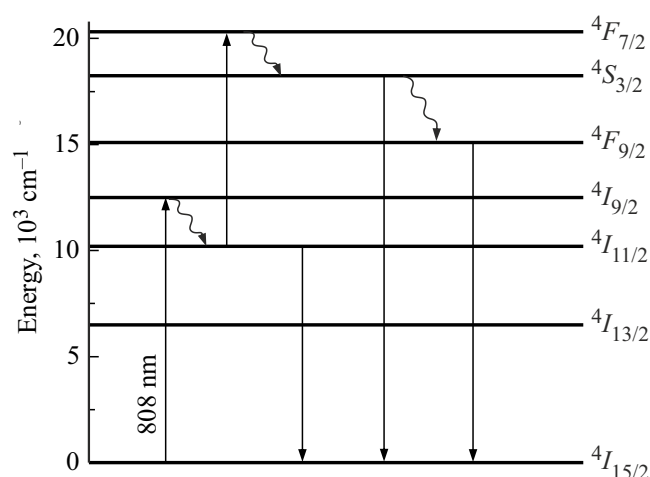


Рис. 3. Схема возбуждения энергетических уровней и излучения  $\text{Er}^{3+}$  при воздействии лазерным диодом с длиной волны 808 nm.

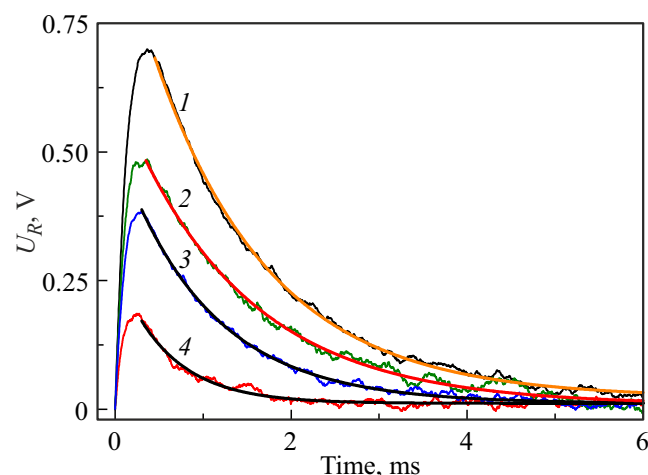


Рис. 5. Кинетические зависимости в максимумах ИК полосы ФЛ, измеренные на длинах волн 1030.5–1033.3 nm в зависимости от содержания скандия, и их аппроксимация. Номера кривых соответствуют номерам образцов согласно табл. 1.

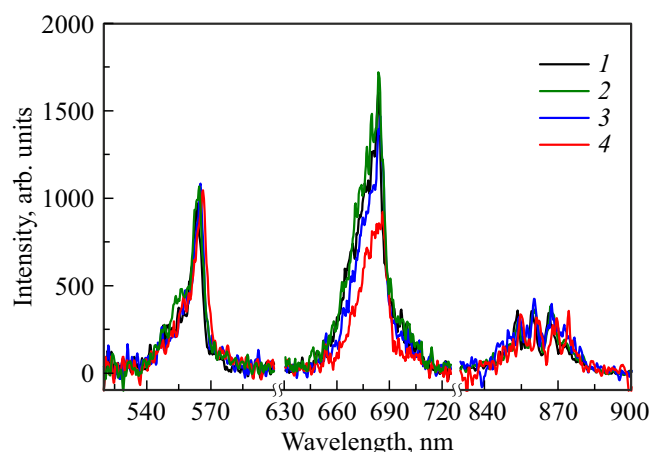


Рис. 4. Спектр ИКЛ образцов с разным содержанием скандия. В легенде указаны номера образцов согласно табл. 1.

Таблица 3. Положение длин волн в спектре люминесценции в образцах № 1 и № 4

Образец	Длина волны, nm				
	$^4S_{3/2} \rightarrow ^4I_{15/2}$	$^4F_{9/2} \rightarrow ^4I_{15/2}$	$^4S_{3/2} \rightarrow ^4I_{13/2}$		
1	563.6	683.7	853.5	859.3	866.2
4	566.4	685.9	854.7	861.1	868.0

относительно их возбуждения за счет ап-конверсии излучением лазерного диода с длиной волны 808 nm.

У всех образцов при возбуждении электронным пучком кинетика наблюдаемых полос и их компонент описывается экспоненциальным спадом интенсивностей с характерным временем, равным времени жизни излучательного уровня перехода. Для примера на рис. 5 приведены временные зависимости для самой интенсивной линии, наблюдаемой в ИК полосе ФЛ (рис. 2).

Таблица 4. Характерные времена жизни уровней для образцов  $\text{Er}_y:(\text{Sc}_x\text{Y}_{1-x})_2\text{O}_3 + 2 \text{ mol.}\% \text{ ZrO}_2$

Образец	x	Время жизни уровня		
		$^4S_{3/2}, \mu\text{s}$	$^4F_{9/2}, \mu\text{s}$	$^4I_{11/2}, \text{ms}$
1	0	5.6	21.8	1.5
2	0.114	4.5	17.5	1.7
3	0.227	4.0	12.6	1.2
4	0.445	3.4	8.3	0.7

Времена спада интенсивностей для полос на переходах  $^4S_{3/2} \rightarrow ^4I_{15/2}$  и  $^4S_{3/2} \rightarrow ^4I_{13/2}$  внутри образцов одного состава оказались равны, что дополнительно указывает на излучение этих полос с общего уровня  $^4S_{3/2}$ . В свою очередь характерные времена затухания каждой полосы в образцах разного состава заметно отличаются (табл. 4).

Видно, что время жизни излучательного уровня  $^4F_{9/2}$  монотонно падает с ростом содержания скандия в образцах. Подобный спад наблюдается и для времени жизни уровня  $^4S_{3/2}$ , в то время как для излучательного уровня  $^4I_{11/2}$  поведение времени жизни носит экстремальный характер: для образца без добавления скандия оно составляет 1.5 ms, в образцах состава № 2 увеличилось до 1.7 ms, а далее с увеличением содержания скандия время жизни падает до 0.7 ms. Напомним, что при фотовозбуждении только в образцах этого же состава № 2 наблюдалась красная полоса люминесценции, а в остальных — практически не проявилась. Причина такого поведения не совсем понятна и требует дополнительных исследований, включающих в том числе изготовление керамик промежуточных составов.

## Заключение

При возбуждении уровня  ${}^4I_{9/2}$  иона эрбия излучением лазерного диода с длиной волны 808 nm во всех образцах наблюдается ап-конверсия, в результате чего излучаются полосы на переходах  ${}^4S_{3/2} \rightarrow {}^4I_{15/2}$  и  ${}^4I_{11/2} \rightarrow {}^4I_{15/2}$ , а у образцов состава № 2 дополнительно проявляется излучение на переходе  ${}^4F_{9/2} \rightarrow {}^4I_{15/2}$ . При возбуждении импульсным электронным пучком зарегистрированы такие же, как и при фотовозбуждении, полосы излучения, соответствующие переходам  ${}^4S_{3/2} \rightarrow {}^4I_{15/2}$  (530–575 nm),  ${}^4F_{9/2} \rightarrow {}^4I_{15/2}$  (640–720 nm), а также отсутствующая в ФЛ полоса  ${}^4S_{3/2} \rightarrow {}^4I_{13/2}$  (840–900 nm). С ростом содержания скандия наблюдается красный сдвиг и уширение длинноволновых компонент всех полос люминесценции эрбия. Кинетические измерения показали, что образцы состава № 2 имеют самое большое время жизни уровня  ${}^4I_{11/2}$ , которое равно 1.7 ms. У излучательных уровней  ${}^4S_{3/2}$  и  ${}^4F_{9/2}$  времена жизни составляют порядка единиц и десятков микросекунд и уменьшаются с ростом содержания скандия в образцах.

## Финансирование работы

Работа выполнена в рамках государственного задания Министерства науки и высшего образования РФ (№ 124022200004-5).

## Конфликт интересов

Авторы заявляют, что у них нет конфликта интересов.

## Список литературы

- [1] H. Strange, K. Petermann, G. Huber, E.W. Duczynski. *Appl. Phys. B*, **49**, 269 (1989). DOI: 10.1007/BF00714646
- [2] X.F. Yang, D.Y. Shen, T. Zhao, H. Chen, J. Zhou, J. Li, H.M. Kou, Y.B. Pan. *Laser Physics*, **21** (6), 1013 (2011). DOI: 10.1134/S1054660X1111034X
- [3] C. Brandt, V. Matrosov, K. Petermann, G. Huber. *Opt. Lett.*, **36** (7), 1188 (2011). DOI: 10.1364/OL.36.001188
- [4] Д.Ю. Сачков. *Науч.-техн. вестник СПбГУ инф. техн., мех. опт.*, **10** (1), 27 (2010).
- [5] М.А. Ногинов, В.А. Смирнов, А.Ф. Умысков, Г. Хубер, Х. Штанге, И.А. Щербаков. *Квант. электрон.*, **17** (10), 1277 (1990). [M.A. Noginov, V.A. Smirnov, A.F. Umyskov, G. Huber, H. Stange, I.A. Shcherbakov. *Sov. J. Quant. Electron.*, **20** (10), 1185 (1990). DOI: 10.1070/QE1990v020n10ABEH007438].
- [6] L. Fornasiero, E. Mix, V. Peters, K. Petermann, G. Huber. *Cryst. Res. Technol.*, **34** (2), 255 (1999). DOI: 10.1002/(SICI)1521-4079(199902)34:2<255::AID-CRAT255>3.0.CO;2-U
- [7] K. Petermann, G. Huber, L. Fornasiero, S. Kuch, E. Mix, V. Peters, S.A. Basun. *J. Lumin.*, **87** (89), 973 (2000). DOI: 10.1016/S0022-2313(99)00497-4
- [8] Ph.H. Klein, W.J. Croft. *J. Appl. Phys.*, **38** (4), 1603 (1967). DOI: 10.1063/1.1709730
- [9] A.A. Kaminskii, M.S. Akchurin, R. Gainutdinov, K. Takaichi, A. Shirakawa, H. Yagi, T. Yanagitani, K. Ueda. *Crystallogr. Rep.*, **50** (5), 869 (2005).
- [10] P. Loiko, P. Koopmann, X. Mateos, J.M. Serres, V. Jambunathan, A. Lucianetti, T. Mocek, M. Aguiló, F. Díaz, U. Griebner, V. Petrov, C. Krankel. *IEEE J. Sel. Top. Quant. Electron.*, **24** (5), 1600713 (2018). DOI: 10.1109/JSTQE.2018.2789886
- [11] W. Liu, H. Kou, J. Li, B. Jiang, Y. Pan. *Ceram. Int.*, **41** (5), 6335 (2015). DOI: 10.1016/j.ceramint.2015.01.063
- [12] G. Toci, A. Pirri, B. Patrizi, R.N. Maksimov, V.V. Osipov, V.A. Shitov, M. Vannini. *J. Alloys Compd.*, **853**, 156943 (2020). DOI: 10.1016/j.jallcom.2020.156943
- [13] W. Jing, P. Loiko, L. Basyrova, Y. Wang, H. Huang, P. Camy, U. Griebner, V. Petrov, J.M. Serres, R.M. Solé, M. Aguiló, F. Díaz, X. Mateos. *Opt. Mater.*, **117**, 111128 (2021). DOI: 10.1016/j.optmat.2021.111128
- [14] H. Wu, G.H. Pan, Z. Hao, L. Zhang, X. Zhang, L. Zhang, H. Zhao, J. Zhang. *J. Am. Ceram. Soc.*, **102** (8), 4919 (2019). DOI: 10.1111/jace.16325
- [15] N. Zhang, Z. Wang, S. Liu, W. Jing, H. Huang, Z. Huang, K. Tian, Z. Yang, Y. Zhao, U. Griebner, V. Petrov, W. Chen. *Opt. Express.*, **30** (13), 23978 (2022). DOI: 10.1364/OE.462701
- [16] A. Pirri, R.N. Maksimov, J. Li, M. Vannini, G. Toci. *Materials*, **15** (6), 2084 (2022). DOI: 10.3390/ma15062084
- [17] W. Jing, P. Loiko, J.M. Serres, Y. Wang, E. Kifle, E. Vileshnikova, M. Aguiló, F. Díaz, U. Griebner, H. Huang, V. Petrov, X. Mateos. *J. Lumin.*, **203**, 145 (2018). DOI: 10.1016/j.jlumin.2018.06.043
- [18] A. Schmidt, V. Petrov, U. Griebner, R. Peters, K. Petermann, G. Huber, C. Fiebig, K. Paschke, G. Erbert. *Opt. Lett.*, **35** (4), 511 (2010). DOI: 10.1364/OL.35.000511
- [19] Y. Wang, W. Jing, P. Loiko, Y. Zhao, H. Huang, X. Mateos, S. Suomalainen, A. Härkönen, M. Guina, U. Griebner, V. Petrov. *Opt. Express.*, **26** (8), 10299 (2018). DOI: 10.1364/OE.26.010299
- [20] R. Maksimov, V. Shitov, V. Osipov, O. Samatov, D. Vakalov, F. Malyavin, L. Basyrova, P. Loiko, P. Camy. *Opt. Mat.*, **137**, 113542 (2023). DOI: 10.1016/j.optmat.2023.113542